УДК 539.124.143

## ИМПЛАТАЦИЯ КОБАЛЬТА В ОКСИДНЫЕ СТЕКЛА

**В.А.** Жачкин\*, Л.Д. Богомолова\*\*, В.В. Тарасова\*\*\*

\*Московский государственный областной университет (МГОУ) ул.Радио 10a, 105005, Москва, Россия

\*\*Научно-исследовательский Институт Ядерной физики (НИИЯФ)
Московского государственного университета имени М.В.Ломоносова (МГУ)
Ленинские Горы 1, 119991, Москва, Россия

\*\*\*\*Физический факультет
Московского государственного университета имени М.В.Ломоносова (МГУ)
Ленинские Горы 1, 119991, Москва, Россия

Аннотация: Оксидные стекла имплантировались ионами  $Co^+$  при потоках (F) в диапазоне от  $2\times10^{15}$  до  $3\times10^{17}$  см<sup>-2</sup> при энергии E=150 кэВ. Линии ЭПР с  $g\sim4$  наблюдались при 4,2 К для образцов, имплантированных при  $F=(2\div8)\times10^{15}$  сm<sup>-2</sup>, и были приписаны ионам  $Co^{2+}$  в искаженном октаэдрическом или тетраэдрическом окружении. Полученные данные по электронной микроскопии на пропускании (ТЭМ), оптической спектроскопии и ЭПР свидетельствуют об образовании наночастиц металлического Co при  $F>10^{16}$  см<sup>-2</sup>. Линии Det MP с Det M

Ключевые слова: ионная имплантация, наночастицы, кобальт, ЭПР.

#### ВВЕДЕНИЕ

В последнее время резко возрос интерес к исследованию стекол, подвергнутых воздействию потока ускоренных заряженных частиц. Под действием ионных пучков происходит изменение физических и химических свойств стекла в его приповерхностном слое, что делает перспективными различные применения стекол, например в интегральной оптике. Объектом многочисленных исследований стали стекла, в которых направленно создаются металлические или полупроводниковые включения нанометрового размера. Оптические или магнитные свойства таких материалов перспективны для применения в быстродействующих переключающих и записывающих устройствах для интегральных оптических и оптоэлектронных систем.

Кроме того, стекло является одним из материалов, который используется как связующее при захоронении радиоактивных отходов [1].

Одним из наиболее эффективных методов создания наночастиц является ионная имплантация [2].

Особый интерес для интегральной оптики представляют композитные материалы, содержащие переходные элементы в прозрачных диэлектрических матрицах. Так, композитные стекла, содержащие металлические кластеры нанометрового размера, обнаруживают большую нелинейную составляющую оптической проницаемости. Сравнительно недавно нанометровые коллоидные частицы стали применяться в пассивных оп-

тических схемах в качестве мод световых колебаний. Однако в последние два-три десятилетия такие материалы стали разрабатываться и для активных волноводных систем. Образование наночастиц в стекле на основе переходных элементов, обладающих полупроводниковыми и магнитными свойствами, также может найти применение в оптоэлектронике и магнитооптике.

Целью настоящей работы является изучение эффектов взаимодействия ускоренных ионов Со с поверхностью стекла. Основным методом исследования является электронный парамагнитный резонанс (ЭПР), который позволяет идентифицировать валентное и координационное состояние ионов переходных элементов, образование кластеров и наночастиц. Задача данной работы состоит в изучении состояний ионов Со при имплантации их в оксидные стекла в зависимости от энергии (Е), потока (F) и плотности потока бомбардирующих частиц, а также от состава стекла.

#### МЕТОДИКА ЭКСПЕРИМЕНТА

Нами были исследованы кварцевые стекла КВ-типа, полученные в газопламенной печи и содержащие несколько сот млн.д. ОН групп, а также боросиликатное стекло состава (в мол.%) 70 SiO<sub>2</sub> -10 B<sub>2</sub>O<sub>3</sub> - 20 Na<sub>2</sub>O (S-2) и борофосфатное стекло состава 65 P<sub>2</sub>O<sub>5</sub> -10 B<sub>2</sub>O<sub>3</sub> - 10 Al<sub>2</sub>O<sub>3</sub> (P-1). Из стекол были изготовлены полированные пластины размером  $20\times10\times0.5$  мм или  $10\times5\times0.5$  мм. Пластины S-2 и P-1 подвергались облучению ионами Co<sup>+</sup> при потоках F, лежащих в диапазоне от  $2\times10^{15}$  до  $3\times10^{17}$  см<sup>-2</sup> при энергии E=150 кэВ. Кварцевое стекло облучалось ионами Co<sup>+</sup> с энергией E=200 кэВ при  $F=(0,1\div6)\times10^{16}$  см<sup>-2</sup>. Некоторые образцы после имплантации отжигались при  $800^{\circ}$ С (кварцевое стекло) или  $773^{\circ}$ С (S-2, P-1) в атмосфере H<sub>2</sub>-Ar. Для уменьшения температуры разогрева пластины в процессе имплантации плотность тока выбиралась низкой  $(0,5\div5$  мкA). Температура, измеренная на поверхности подложки с помощью термопары, не превышала 350 K.

Оптические спектры в интервале длин волн от 300 до 1000 нм были измерены до и после имплантации с помощью спектрофотометра SP-8. Измерения профиля имплантированных ионов проводились с помощью вторичной ионной масс-спектроскопии (SIMS) в Падуанском университете (Италия) на установке CAMECA ims-4f. Калибровка профилей проводилась там же с помощью обратного резерфордовского рассеяния (RBS) с пучком <sup>4</sup>He<sup>+</sup> энергии 2,2 МэВ. После всех измерений на пластинах последние были измельчены и помещены в резонатор радиоспектрометра. Измерения ЭПР проведены при температуре 295 и 77 К на модифицированном спектрометре РЭ-1306, а также на спектрометрах ESP-300 и EMS Вгискег, работающих в 3-см диапазоне с высокочастотной модуляцией. Некоторые измерения были выполнены при 4,2 K, а также в интервале 100 ÷ 473 К.

# РЕЗУЛЬТАТЫ И ОБСУЖДЕНИЕ

Кварцевое стекло.

На рис.1 показан спектр ЭПР кварцевого стекла, имплантированного  $\text{Co}^+$  при  $\text{F} = 2 \times 10^{15} \text{ см}^{-2}$ , записанный при 4,2 К. Спектр представляет собой широкую ( $\Delta \text{H} \approx 120 \text{ мT}$ ) слабо асимметричную линию, пересекающую базовую линию при  $\text{g} \sim 4,4$ . Эта линия не наблюдалась при 77 К. Ион  $\text{Co}^{2+}$  с электронной конфигурацией  $\text{d}^7$  и основным состоянием  $\text{^4F}$  имеет семикратное орбитальное вырождение, которое в октаэдрическом элек-

трическом поле расщепляется, оставляя триплет  $^4\Gamma$  нижним. Спин-орбитальное взаимодействие приводит к расщеплению этого триплета таким образом, что самым нижним оказывается крамерсов дублет с изотропным  $\,$  g-фактором  $\,$ g = 4,3. Поля более низкой симметрии смешивают это состояние с возбужденными уровнями, и g-фактор становится анизотропным. Однако его среднее значение остается в окрестности  $\,$ g = 4, хотя наблюдаемая линия становится более широкой и размытой [3].

Подобная ситуация имеет место и в случае имплантированного кварцевого стекла. Линия с  $g \sim 4,4$  (Puc.1) имеет g-фактор, типичный для октаэдрического окружения иона  $\mathrm{Co}^{2+}$ , а большая ширина этой линии указывает на его сильное искажение. Из-за коротких времен спин решеточной релаксации ЭПР иона  $\mathrm{Co}^{2+}$  в октаэдрической координации наблюдается только при температурах жидкого гелия.

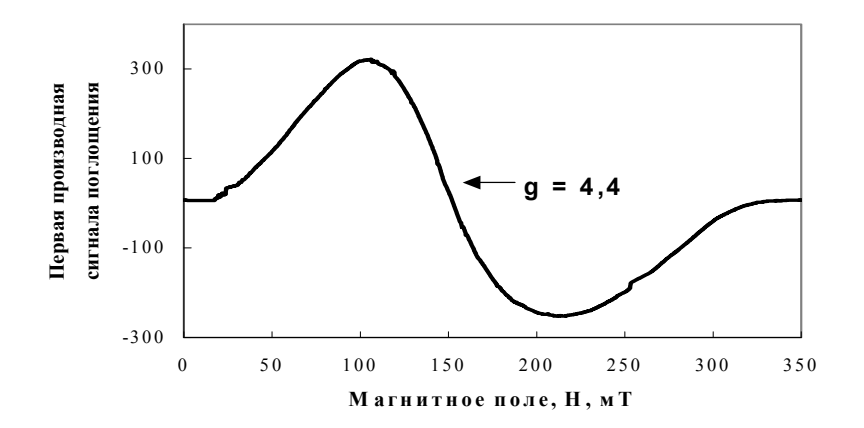


Рис.1. Спектр ЭПР в кварцевом стекле, имплантированном  $\text{Co}^+$  при потоке  $F = 2 \cdot 10^{15} \text{ см}^{-2}$ , записанный при 4,2 К.

На рис.2 представлен оптический спектр этого образца (1). Он содержит две полосы поглощения (при  $\sim$ 500 и 600 нм). Профиль распределения Со по толщине имплантируемого слоя имеет гауссову форму с максимумом при 160 нм. Содержание Со в имплантируемом слое по данным RBS равно1,89×10<sup>15</sup> см<sup>-2</sup>. Оптические спектры плавленого кварца, легированного 0,1 вес.% СоО, исследовались в работе [4]. Было найдено несколько полос поглощения, из которых две (при  $\sim$ 500 и 600 нм) были приписаны иону  $\mathrm{Co}^{2+}$  в октаэдрической координации. В работе [5] с помощью рентгеновской спектроскопии были исследованы те же образцы, что и в работе [4]. Установлено, что 75% ионов  $\mathrm{Co}^{2+}$  находится в октаэдрической координации, и порядка 15% — в тетраэдрической. В термически обработанном кварцевом стекле при больших потоках облучения (F = 8×10<sup>15</sup> см<sup>-2</sup>) спектр ЭПР при 4,2 К состоит из сигнала с g  $\sim$  4.4 при  $\Delta$ H  $\approx$  75 мТ и линии с g = 2,30  $\pm$  0,02 с  $\Delta$ H  $\approx$  16 мТ. Интенсивность линии с g = 2,30 возрастает с длительностью термической обработки в  $\mathrm{H}_2$ . Она наблюдается при 77 K, но не обнаружена при 100 K. Её ширина не зависит от температуры измерения.

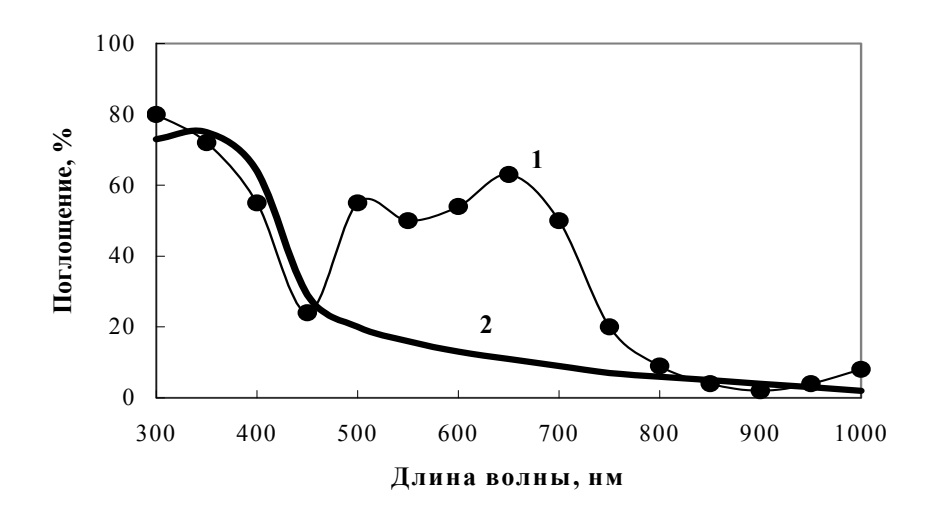


Рис.2. Оптический спектр в кварцевом стекле, имплантированном  $\text{Co}^+$  при потоке  $F = 2 \cdot 10^{15} \text{ см}^{-2}$ , записанный при комнатной температуре (1). 2 - спектр кварцевого стекла, облученного  $\text{Co}^+$  при потоке  $F = 6 \cdot 10^{16} \text{ см}^{-2}$  (плазмонный резонанс).

Как известно, Со может существовать в различных состояниях окисления. ЭПР спектр с восьмикомпонентной СТС (ядерный спин Со равен 7/2), центрированный в области  $g=2,17\div2,31$  с  $A=(31\div54)\cdot10^{-4}$  см $^{-1}$  наблюдался во многих восстановленных кристаллах при  $4,2\div90$  К и был приписан иону  $\mathrm{Co}^+$  [3,6]. Мы предполагаем, что линия с  $\mathrm{g}\sim2,30$  может быть обусловлена ионами  $\mathrm{Co}^+$ , так как ее интенсивность растет при термической обработке образцов в восстановительных условиях.

В кварцевом стекле, не подвергавшемся термической обработке, при потоках  $F > 10^{16}~{\rm cm}^{-2}$  при комнатной температуре наблюдается линия с  $g = 2,22 \pm 0,02$  шириной  $\Delta H = 40~{\rm mT}$ . Ее ширина возрастает до  $65 \div 70~{\rm mT}$  при 77 К. Металлический Со является ферромагнетиком с температурой Кюри  $T_c = 1388~{\rm K}$ . Согласно [7] сигнал ферромагнитного резонанса ( $\Phi MP$ ) металлического Co c g = 2,22 наблюдается при комнатной температуре. Мы предполагаем, что в образцах, имплантированных  ${\rm Co}^+$  при  $F > 10^{16}~{\rm cm}^{-2}$ , линия с g = 2,22 обусловлена  $\Phi MP$  металлического Co.

На рис.2 показан оптический спектр кварцевого стекла, имплантированного  $\mathrm{Co}^+$  при  $\mathrm{F}=6\times10^{16}~\mathrm{cm}^{-2}$ , записанный при комнатной температуре (2). Слабое плечо видно при 340 нм. Оно может быть связано с поверхностным плазмонным резонансом коллоидных частиц металлического  $\mathrm{Co}$  [8].

#### Трехкомпонентные стекла.

Спектр ЭПР образца P-1, имплантированного  $Co^+$  при дозе  $F=2\times10^{15}$  см<sup>-2</sup>, записанный при 4,2 K, похож на спектр кварцевого стекла, показанный на рис.1, т.е. представляет собой широкую ( $\Delta H \approx 100$  мТ) слабо асимметричную линию с  $g=4,4\pm0,5$ . Оптический спектр этого образца содержит две полосы поглощения: при 500 и 850 нм. Эти полосы могут быть приписаны  ${}^4T_{1g}(F) \rightarrow {}^4T_{1g}(P)$  и  ${}^4A_{2g}(F) \rightarrow {}^4T_{2g}(F)$  переходам иона  $Co^{2+}$  в октаэдрической координации , причем второй из них — запрещенный.

Спектр ЭПР стекла S-2 представляет собой сильно асимметричную линию с g=4,17. Оптический спектр образца S-2 содержит полосы поглощения при 515, 580 и 655 нм. Эти полосы обусловлены переходами  ${}^4A_2(F) \rightarrow {}^4T_1(P)$ ,  ${}^4A_2(F) \rightarrow {}^4T_1(F)$  и  ${}^4A_2(F) \rightarrow {}^4T_2(F)$ , соответственно, типичными для иона  $Co^{2^+}$  в тетраэдрической координации [10,11]. Профили распределения кобальта по толщине слоя в стеклах S-2 и P-1 так же, как и в кварцевом стекле, имеют гауссову форму с максимумами при 115 и 105 нм соответственно. По данным RBS концентрация Со в имплантируемом слое в этих стеклах на  $30 \div 40\%$  ниже номинальной.

На рис.3 показан спектр ЭПР образца P-1, имплантированного Co<sup>+</sup> при F =  $7 \times 10^{15}$  см<sup>-2</sup>, записанный при 4.2 К. Спектр содержит две линии: сигнал с g ~ 4,4 при  $\Delta$ H ≈ 60 мT и линию с g = 2,30±0,02 при  $\Delta$ H ≈15 мT. Интенсивность линии с g = 2,30 возрастает после термической обработки в H<sub>2</sub>. В образце S-2 подобная линия не наблюдается ни при 4,2 K, ни при 77 K.

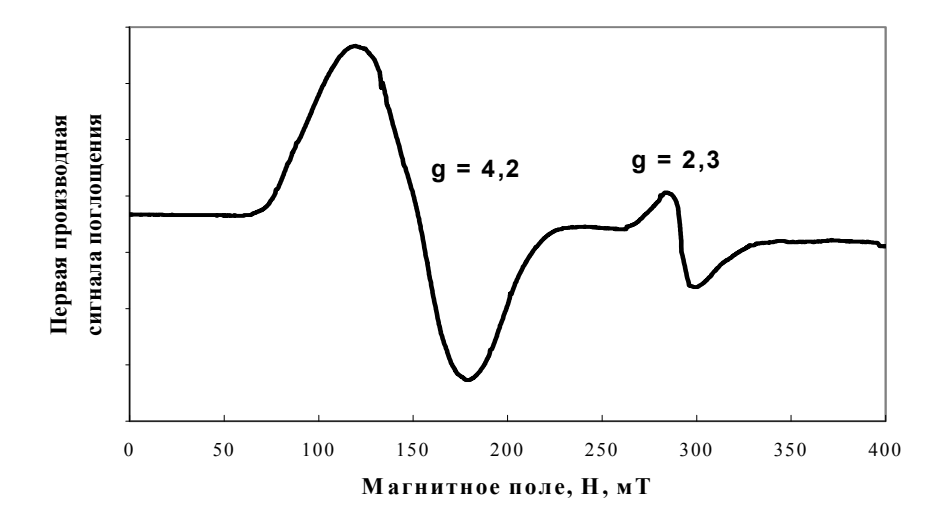


Рис.3. Спектр ЭПР образца P-1, имплантированного  $\text{Co}^+$  при  $\text{F} = 7 \cdot 10^{15} \text{ см}^{-2}$ , записанный при 4.2 К.

Синглетная линия с g = 2,22 с шириной  $\Delta H \approx 20$  мT при комнатной температуре была так же, как для кварцевого стекла, обнаружена и в образце S-2, имплантированном Co<sup>+</sup> при F >10<sup>16</sup> см<sup>-2</sup>. Ширина линии возрастает до 50 мT при 77 К.

На рис.4 показан спектр образца S-2, имплантированного  $Co^+$  при  $F = 3\times 10^{17}$  см<sup>-2</sup>, записанный при 4,2 К. Можно видеть, что в спектре появляется плечо при 265 мТ. Как отмечалось выше, линия с g = 2,22, наблюдаемая при комнатной температуре, может быть отнесена к ферромагнитным включениям металлического Co. Как показано в работе [8] с помощью магнитных измерений, в Co-имплантированных кварцевых стеклах при 77 К и более высоких температурах образуются суперпарамагнитные частицы металлического Co. Частицы при определенных малых размерах переходят в однодоменное состояние с однородной самопроизвольной намагниченностью по всему объему частицы.

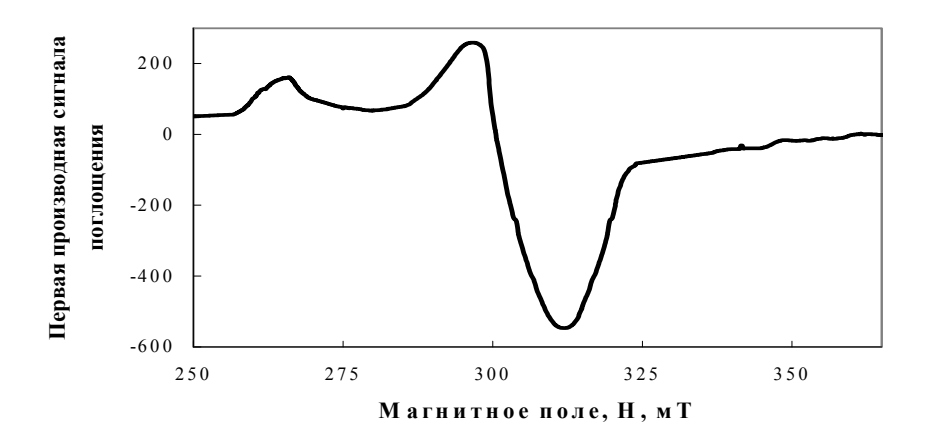


Рис.4. Спектр ЭПР образца S-2, имплантированного  $\text{Co}^+$  при  $\text{F} = 3 \cdot 10^{17} \text{ см}^{-2}$ , записанный при 4,2 К.

Как было отмечено выше, сигнал  $\Phi$ MP с g = 2,22 уширяется при 77 К по сравнению с комнатной температурой, что может быть обусловлено упорядочением магнитных осей. В работе [8] показано, что при 5 К в Со-имплантированных кварцевых стеклах наблюдается ферромагнетизм. Появление плеча при 265 мТ для стекла S-2 связано с увеличением магнитокристаллической анизотропии, которая зависит от размера частиц.

#### ВЫВОДЫ

В кварцевых и фосфатных стеклах, имплантированных Со, при низких дозах и гелиевых температурах наблюдаются сигналы ЭПР иона  $\mathrm{Co}^{2^+}$  в октаэдрической координации. При термической обработке имплантированного стекла в восстановительных условиях появляется линия, которая может быть отнесена к иону  $\mathrm{Co}^+$ . В силикатных стеклах при низких дозах и температурах по данным ЭПР и оптической спектроскопии ион  $\mathrm{Co}^{2^+}$  находится преимущественно в тетраэдрической координации. В образцах всех стекол после высокотемпературной термической обработки, при комнатной температуре наблюдается линия с  $\mathrm{g}=2,22$ , которая может быть отнесена к суперпарамагнитным частицам ферромагнитного металлического  $\mathrm{Co}$ , наличие которых подтверждается полосой поглощения поверхностного плазмонного резонанса в оптическом спектре.

#### ЛИТЕРАТУРА

- 1. Arnold, G.W. Radiation damage effects in nuclear waste glasses [Text] // Radiat. Eff. -1983. -V.74. -P.151-159.
- 2. Cattaruzza, E. Quantum-dot composite silicate glasses obtained by ion implantation [Text]. // Nucl. Instrum.& Methods in Phys. Research B (NIMB). -2000. -V.169. P.141-155.

- 3. Альтшулер, С.А., Козырев, Б.М.. Электронный парамагнитный резонанс соединений элементов промежуточных групп [Текст]. // «Наука». Физ-мат. литература.-Москва. –1972. –672с.
- 4. Schultz, P.C. Optical spectra of ions of first transition raw in silica glass [Text]. // J. Am. Ceram. –1974. –V.57. –P.309-314.
- 5. Lytle, F.W., Greegor R.B. –Identification of transition metal sites in fused SiO<sub>2</sub> by X-ray absorption spectroscopy [Text]. // Mat. Res. Proc. –1986. –V.61. P.259-271.
- 6. Aguilar, M. Valence States of cobalt in BaTiO<sub>3</sub>: an EPR study [Text]. // Solid State commun. –1984. V.50. –No9. –P.837-840.
- 7. Ingram, D.J.E. Spectroscopy at radio and microwave frequencies [Text]. // London. -1955. -445 p.
- 8. Cintora-Gonzales, O., Muller, L., Estournes, C., Richard-Poulet, V., Poinsot, R., Grobb, J.J., Guille, J.. Structure and magnetic properties of Co<sup>+</sup>-implanted silica [Text]. // NIMB. -2001. -V.178. -P.144-147.
- 9. France, P.W., Carter, S.F., Parker, J.M. Oxidation states of 3d transition metals in ZrF<sub>4</sub> glasses [Text]. // Phys. Chem. Glasses. –1986. –V.27. –No1. –P. 32-41.
- 10. Boos, A., Pourroy, G., Rehspringer, J.L., Guille, J.L. Optical properies of Co<sup>2+</sup>-doped silica gel monoliths [Text]. // J. Non-Crystal. Solids. –1994. –V.176. P.172-178.
- 11. Morishita, Y., Tanaka, K. Optical absorption of Co-doped SiO<sub>2</sub>-GeO<sub>2</sub> glass rods and fibers [Text]. // J. Appl. Phys. –2003. –V.93. –No2. –P.999-1003.

## IMPLANTATION OF COBALT INTO OXIDE GLASSES

V. Zhachkin\*, L. Bogomolova\*\*, V. Tarasova\*\*\*

\*Moscow State Region University
Moscow, Russia

\*\*Institute of Nuclear Physics of Moscow State University (MSU)
Moscow, Russia

\*\*\*Physical Department of Moscow State University (MSU)
Moscow, Russia

Abstract. Oxide glasses were implanted with Co<sup>+</sup> ions at nominal fluences (F) ranging from  $2\times10^{15}$  to  $3\times10^{17}$  cm<sup>-2</sup> at energy E = 150 keV. The lines of EPR with g ~ 4 were observed at 4.2 K for the samples implanted to F =  $(2\div8)\times10^{15}$  cm<sup>-2</sup> and were attributed to Co<sup>2+</sup> ions in distorted octahedral or tetrahedral environment depending on substrate. Results of TEM, optical spectroscopy and EPR indicate the formation of Co metallic nanoparticles at F >10<sup>16</sup> cm<sup>-2</sup>. FMR line with g ~ 2.2 was observed in temperature region 4.2 ÷77 K and even at 295 K for silicate glass.

Key words: . ion implantation, nanoparticles, cobalt, EPR